

## УСТОЙЧИВОСТЬ ПОГРАНИЧНОГО СЛОЯ НАД ПОВЕРХНОСТЬЮ ВОЛНЫ, БЕГУЩЕЙ ПО ПЛАСТИНЕ

Л. Б. Айзин, А. Г. Володин

(Новосибирск)

В линейном приближении рассматривается двумерная задача об устойчивости потока несжимаемой жидкости над жесткой поверхностью, возмущенной волной, бегущей в направлении распространения потока. Задача решается в системе координат, покоящейся относительно бегущей волны. Параметры этой волны не являются собственными значениями соответствующей линейной задачи об устойчивости. Решение ищется в виде ряда по степеням амплитуды волны с точностью до квадратичного члена включительно. Проведены расчеты зависимости кривой нейтральной устойчивости от амплитуды, длины волны и фазовой скорости.

1. Используются безразмерные величины, в качестве масштабов выбирали  $u_0$  — скорость набегающего потока и  $\delta^* = 1,73\sqrt{\nu u_0/X}$ , где  $X$  — расстояние от начала пластины;  $\nu$  — кинематическая вязкость. Рассмотрение проводится в системе координат, покоящейся относительно бегущей волны, поэтому координата стенки имеет вид

$$(1.1) \quad y = \varepsilon \cos \beta x,$$

где  $y$ ,  $x$  — соответственно нормальная и продольная координаты;  $\varepsilon$  — амплитуда;  $\beta$  — волновое число. Введем следующие координаты:  $\eta$  — функция тока,  $\xi$  — потенциал соответствующей невязкой задачи, т. е.

$$\Delta \eta = 0; \eta = 0, y = \varepsilon \cos \beta x; y \rightarrow \infty, \partial \eta / \partial y \rightarrow 1.$$

Коэффициенты Ламэ [1]

$$(1.2) \quad h_{\eta}^{-2} = h_{\xi}^{-2} = h = 1 + 2\varepsilon\beta \cos \beta \xi e^{-\beta \eta} + O(\varepsilon\beta)^2.$$

Линеаризованное уравнение для функции тока возмущения  $\psi$  в новых координатах имеет вид

$$(1.3) \quad \frac{\partial \Delta \psi}{\partial t} + \frac{\partial (\Psi, h \Delta \psi)}{\partial (\eta, \xi)} - \frac{\partial (h \Delta \Psi, \psi)}{\partial (\eta, \xi)} = \frac{\Delta (h \Delta \psi)}{\text{Re}},$$

где  $t$  — время;  $\text{Re}$  — число Рейнольдса.

Коэффициенты уравнения (1.3) являются периодическими функциями  $\xi$  и не зависят от  $t$ . Поэтому решение (1.3) будем искать в виде

$$(1.4) \quad \psi = e^{pt} \varphi(\eta, \xi).$$

Согласно [1], функция тока стационарного течения имеет вид

$$(1.5) \quad \Psi = \int (u - c) d\eta + \varepsilon (\Psi_{11} + \Psi_{-11}) + \varepsilon^2 (\Psi_{02} + \Psi_{22} + \Psi_{-22}) + O(\varepsilon^3),$$

где первый индекс означает номер гармоники;  $u$  — профиль скорости Блазиуса;  $c$  — фазовая скорость волны, бегущей по стенке. Подставляя выражение (1.4) в уравнение (1.3), полученную задачу запишем в форме

$$(1.6) \quad L\varphi = \varepsilon(e^{-i\beta\xi} H_{-}\varphi + e^{i\beta\xi} H_{+}\varphi) + \varepsilon^2 M\varphi + O(\varepsilon^3).$$

Вид  $L$ ,  $H_-$ ,  $H_+$  определяется выражениями (1.2), (1.3), (1.5). Так как собственные значения оператора  $L$  являются простыми [2], решение уравнения (1.6) будем искать в виде [2]

$$(1.7) \quad p = \sum_0^{\infty} p_n \varepsilon^n, \quad \varphi = \sum_{-\infty}^{\infty} e^{in\beta} \varphi_n, \quad \varphi_n = \sum_{k=|n|}^{\infty} \varphi_{nk} \varepsilon^k.$$

Группируя в (1.6) члены при одинаковых гармониках и степенях  $\varepsilon$ , получим систему уравнений

$$(1.8) \quad \begin{aligned} T(\alpha, p_0) \varphi_{00} &= 0, & T(\alpha, p_0) \varphi_{01} &= p_1 \operatorname{Re} \left( \frac{\partial^2}{\partial \eta^2} - \alpha^2 \right) \varphi_{00}, \\ T(\alpha \mp \beta, p_0) \varphi_{\pm 11} &= e^{\mp i\alpha \xi} H_+ e^{\pm i\alpha \xi} \varphi_{00}, \\ T(\alpha, p_0) \varphi_{02} &= p_2 \operatorname{Re} \left( \frac{\partial^2}{\partial \eta^2} - \alpha^2 \right) \varphi_{00} + e^{-i(\alpha+\beta)\xi} H_- e^{i(\alpha+\beta)\xi} \varphi_{11} + \\ &+ e^{-i(\alpha-\beta)\xi} H_+ e^{i(\alpha-\beta)\xi} \varphi_{-11} + M_0 \varphi_{00}, \end{aligned}$$

где  $T(\alpha, p)$  — оператор Орра — Зоммерфельда. Из условия разрешимости системы (1.8) получим поправку к собственному значению с точностью до  $\varepsilon^2$

$$(1.9) \quad \begin{aligned} p_1 &= 0, & p_2 &= -\frac{1}{\operatorname{Re} c} \int_0^{\infty} \left( e^{-i(\alpha+\beta)\xi} H_- e^{i(\alpha+\beta)\xi} \varphi_{11} + \right. \\ &+ \left. e^{-i(\alpha-\beta)\xi} H_+ e^{i(\alpha-\beta)\xi} \varphi_{-11} + M_0 \varphi_{00} \right) \chi d\eta \int_0^{\infty} (\varphi_{00}'' - \alpha^2 \varphi_{00}) \chi d\eta \end{aligned}$$

( $\chi$  — собственная функция оператора, сопряженного оператору Орра — Зоммерфельда).

2. Приведем выражения для операторов, входящих в формулы (1.7),

$$\begin{aligned} H_+ &= \operatorname{Re} \left( p_0 \Delta + \frac{\partial(\Psi_{11}, \Delta)}{\partial(\eta, \xi)} - \frac{\partial(\Delta \Psi_{11})}{\partial(\eta, \xi)} + i\beta^2 c^{-\beta\eta} \frac{\partial \Psi_0}{\partial \eta} \Delta + \right. \\ &+ \left. \beta^2 e^{-\beta\eta} \frac{\partial^2 \Psi_0}{\partial \eta^2} \left( \frac{\partial}{\partial \xi} + \frac{\partial}{\partial \eta} \right) \right) - 2i\beta^2 e^{-\beta\eta} \left( \frac{\partial}{\partial \xi} - i \frac{\partial}{\partial \eta} \right), \\ M_i &= \operatorname{Re} \left( \frac{\partial \Delta \Psi_{i2}}{\partial \eta} \frac{\partial}{\partial \xi} - \frac{\partial \bar{\Psi}_{i2}}{\partial \eta} \frac{\partial \Delta}{\partial \xi} \right), \quad M = \sum M_i, \end{aligned}$$

$$H_- = H_+ + \operatorname{Re}(p_0 - \bar{p}_0) \Delta,$$

где

$$\Delta = \frac{\partial^2}{\partial \xi^2} + \frac{\partial^2}{\partial \eta^2}; \quad \Psi_0 = \int (u - c) d\eta; \quad \Psi_{11} = \left( F + (u - c) \frac{e^{-\beta\eta}}{2} \right) e^{i\beta\xi}.$$

Здесь  $F$  — решение задачи [1]

$$i\beta \operatorname{Re}((u - c)(F'' - \frac{c^2}{2} F') - u'' F) = \Delta^2 F + \frac{e^{-\beta\eta}}{2} (u^{IV} - 2\beta u'''),$$

$$F(0) = \frac{c}{2}, \quad F'(0) = -\frac{1}{2}(u'(0) - \beta c), \quad \eta = \infty, \quad F = F' = 0.$$

Главный член в  $\Psi_{02}$  определяется из уравнения

$$\Delta^2 \Psi_{02} = -2\beta \operatorname{Im} (\bar{F}'(F'' - \frac{\partial^2 F}{\partial \eta^2}) - F(\bar{F}''' - \beta^2 \bar{F}')),$$

при  $\eta = 0$   $\Psi_{02} = \Psi'_{02} = 0$ , при  $\eta = \infty$   $\Psi''_{02} = \Psi'''_{02} = 0$ .

3. Область применимости используемой методики расчета можно определить, анализируя поведение ряда (1.5). Так как расчеты проводятся при значениях  $\beta$  и  $c$ , близких к собственному значению оператора Орра — Зоммерфельда, о поведении ряда следует судить по отношению  $\Psi_{13}$  к  $\Psi_{11}$

$$\Psi_{11} \sim \frac{\beta \int (u-c) u' \chi d\eta}{\Delta c \int (\partial^2 / \partial \eta^2 - \beta^2) \varphi_{00} \chi d\eta} \sim \frac{\beta u'^2 y_c^2}{\Delta c} \varphi_{00},$$

$$\Psi''_{02} \sim 2\beta \operatorname{Re} \int_{\infty}^{\eta} \Psi_{11}'^2 d\eta \sim \frac{2\beta^3 \operatorname{Re} y_c^4 u'^4}{\Delta c} \int_{\infty}^{\eta} \varphi_{00}'^2 d\eta,$$

$$\Psi_{13} \sim \varphi_{00} \int_{\infty}^{\eta} \Psi_{11}' \Psi_{02}'' \chi d\eta / \Delta c \int_{\infty}^{\eta} \left( \frac{\partial^2}{\partial \eta^2} - \beta^2 \right) \varphi_{00} \chi d\eta \sim \frac{2\beta^4 \operatorname{Re} y_c^8 u'^8}{\Delta c^4} \varphi_{00}.$$

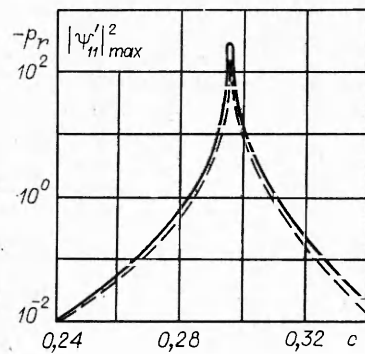
В оценках полагалось  $\varphi_{00}' \sim \chi' \sim 1$ . Масштаб этих функций  $y_c = 2,5(\beta \operatorname{Re} u')^{-1/3}$  [3]. Из приведенных оценок следует, что используемая методика пригодна в области выполнения неравенства

$$(3.1) \quad 500\beta(\epsilon u')^2 / \Delta c^3 \operatorname{Re} \ll 1.$$

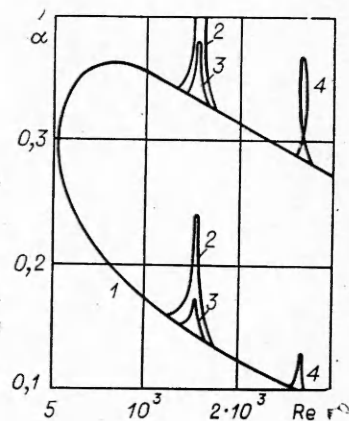
Здесь  $\Delta c$  — расстояние от  $c$  до собственного значения оператора Орра — Зоммерфельда, а  $\beta$  и  $\epsilon$  — параметры волны (1.1). При численном интегрировании уравнения Орра — Зоммерфельда применялся метод ортогонализации [4]. На фиг. 1 сплошной кривой представлена зависимость поправки к коэффициенту нарастания  $p_2$  для заданной волны Толмина — Шлихтинга от фазовой скорости распространения волны на стенке, а штриховой — зависимость  $|\Psi_{11}'|_{\max}$  от  $c$ . Эти результаты соответствуют нижней ветви кривой нейтральной устойчивости при значениях  $\operatorname{Re} = 1450$ ,  $\beta = 0,141$ ,  $\alpha = 0,142$ . Как видно из графика, эффект влияния волнистости стенки на устойчивость в основном связан с изменением добавки к основному стационарному потоку. Некоторое увеличение эффекта вызывается сдвигом максимума  $|\Psi_{11}'|$  в область критического слоя. При  $c = 0$  поправка к коэффициенту нарастания возмущения снижается до минимума и  $p_2 \sim 1/\operatorname{Re}$ .

Аналогичные результаты были получены и для второй ветви кривой нейтральной устойчивости. В этом случае волнистость стенки приводит к дестабилизации потока. Поправка к коэффициенту нарастания из-за  $\Psi_{02}$  при расчетах составляла не более 10% от поправки из-за  $\Psi_{11}$  в районе нейтральной кривой. Смена знака поправки происходит в области максимальных коэффициентов нарастания возмущений.

На фиг. 2 представлена зависимость кривой нейтральной устойчивости от  $\epsilon$  при заданных  $c$  и  $\beta$ . Цифрой 1 обозначена нейтральная кривая для гладкой стенки. Возмущение поверхности монохроматической волной приводит к искажению кривой нейтральной устойчивости в узкой зоне, где  $i p_0 \approx c\beta$  и  $\beta \approx \alpha$ . Цифрами 2, 3 обозначены искажения нейтральной кривой при следующих параметрах волны, бегущей по стенке:  $c = 0,296$ ,  $\beta = 10^{-4} \operatorname{Re}$ ,  $\Delta c = 3 \cdot 10^{-3}$  для  $\epsilon = 10^{-3}$  и  $\epsilon = 2 \cdot 10^{-3}$  соответственно, 4 — при  $c = 0,31$ ,  $\beta = 0,9 \cdot 10^{-4} \operatorname{Re}$ ,  $\Delta c = 10^{-2}$ ,  $\epsilon = 0,7 \cdot 10^{-3}$ .



Фиг. 1



Фиг. 2

Задание  $\beta$  по такому закону означает, что размерная длина бегущей по стенке волны сохраняется с изменением числа  $Re$ . Поправка к коэффициенту нарастания существенна только в узкой области чисел  $Re$ , прилегающих к области искажения кривой нейтральной устойчивости.

Результаты работы показывают, что влияние волнистости в рассматриваемом диапазоне чисел Рейнольдса ( $520 \leq Re \leq 3500$ ) при выполнении условия (3.1) сводится к искажению стационарного профиля скорости, что и приводит к изменению устойчивости потока. Стабилизация потока на нижней ветви нейтральной кривой при  $\alpha \approx \beta$ ,  $\Delta c \ll 1$  и дестабилизация на верхней ветви представляются естественными, если вспомнить результаты нелинейной теории [5, 6]. Авторы признательны С. А. Гапонову, который указал на эту аналогию.

Поступила 17 X 1978

#### ЛИТЕРАТУРА

1. Benjamin T. B. Shearing flow over a wave boundary.—*J. Fluid Mech.*, 1959, vol. 6, N 2.
2. Якубович В. А., Старжинский В. М. Линейные дифференциальные уравнения с периодическими коэффициентами и их приложения. М., «Наука», 1972.
3. Линь Ц. Ц. Теория гидродинамической устойчивости. М., ИЛ, 1958.
4. Годунов С. К. О численном решении краевых задач для систем линейных дифференциальных уравнений.— *«Успехи мат. наук»*, 1961, т. 16, вып. 3(9).
5. Гапонов С. А., Скобелев Б. Ю. Вторичные автоколебательные режимы в течении Блазиуса. Вопросы газодинамики. Новосибирск, 1975.
6. Лихачев О. А., Штерн В. Н. Автоколебательное течение в пограничном слое.— ПМТФ, 1975, № 4.